

ارزیابی شاخص‌های گرمایی محیطی، فیزیولوژیک و ادراکی در کارگران یک معدن زیرزمینی

میثم مباشری دمنه^۱، حبیب‌اله دهقان^۲، عظیم کریمی^۱، حسین خلیلی گرجی^۱، محمد زین‌الدینی^۳،
علیرضا پوربافرانی^۴، زهرا شریفیان شاهکوچکی^۱

مقاله پژوهشی

چکیده

مقدمه: گرما به عنوان عامل زیان‌آوری در محیط‌های کاری شناخته شده است که باعث ایجاد تغییرات فیزیولوژیک در افراد می‌شود. هدف از انجام مطالعه حاضر، ارزیابی شاخص‌های گرمایی محیطی، فیزیولوژیک و ادراکی در یک معدن زیرزمینی بود.

روش‌ها: این پژوهش تحلیلی-مقطعی، بر روی ۶۴ نفر از کارگران مرد یک معدن زیرزمینی سرب و روی در فصل تابستان انجام گرفت. شاخص‌های استرین فیزیولوژیک (PSI یا Physiological strain index) و شاخص دمای تر گوی‌سان (Wet bulb globe temperature یا WBGT) به طور هم‌زمان اندازه‌گیری شد و همچنین، شاخص نمره استرین حرارتی (HSSI یا Heat strain score index) با استفاده از پرسش‌نامه مربوط تکمیل گردید. داده‌های به دست آمده در نرم‌افزار SPSS مورد تجزیه و تحلیل قرار گرفت.

یافته‌ها: میانگین شاخص‌های PSI، WBGT و HSSI به ترتیب برابر با ۲/۱۱، ۲۲/۰۸ و ۱۳/۵۵ بود و نشان دهنده آن است که محیط معدن دارای استرس حرارتی کمی می‌باشد. میانگین شاخص PSI در سطوح خطر شاخص HSSI دارای اختلاف معنی‌داری بود. بر اساس نتایج آزمون همبستگی Pearson، بین شاخص‌های WBGT و PSI ارتباط معنی‌داری مشاهده نشد ($P = ۰/۷۹۱$). همچنین، همبستگی خوبی بین شاخص‌های HSSI و PSI وجود داشت ($P < ۰/۰۰۱$ ، $r = ۰/۸۵۹$).

نتیجه‌گیری: با توجه به محدودیت‌های استفاده از شاخص PSI، می‌توان از شاخص HSSI به عنوان یک ابزار غربالگری در ارزیابی سطح استرین گرمایی در کارگران معدن زیرزمینی استفاده نمود.

واژه‌های کلیدی: بیماری‌های ناشی از استرس حرارتی، استرس فیزیولوژیک، درجه حرارت بالا

ارجاع: مباشری دمنه میثم، دهقان حبیب‌اله، کریمی عظیم، خلیلی گرجی حسین، زین‌الدینی محمد، پوربافرانی علیرضا، شریفیان شاهکوچکی زهرا. **ارزیابی شاخص‌های گرمایی محیطی، فیزیولوژیک و ادراکی در کارگران یک معدن زیرزمینی.** مجله تحقیقات نظام سلامت ۱۳۹۶؛ ۱۳ (۴): ۳۹۳-۳۹۸

پذیرش مقاله: ۱۳۹۵/۱۱/۴

دریافت مقاله: ۱۳۹۴/۱۱/۲۹

مقدمه

شرایط محیطی گرم و مرطوب در بسیاری از مناطق جهان وجود دارد که این شرایط می‌تواند بر سلامت و راندمان افراد تأثیرگذار باشد (۱). در بعضی از صنایع، استرس گرمایی یک مشکل معمول و همیشگی است و کارگران به طور مداوم با استرس گرمایی مواجه می‌شوند. این شرایط در صنایعی مانند ذوب فلزات، سرامیک‌سازی، صنایع غذایی، نیروگاه برق، صنایع ساختمانی و کشاورزی وجود دارد (۲). استرس گرمایی باعث بروز بیماری‌هایی همچون سنکوپ گرمایی، خستگی گرمایی، کرامپ گرمایی، شوک گرمایی، گیجی، کاهش تمرکز، خستگی و همچنین، تحمیل هزینه‌هایی مانند کاهش تولید، از دست رفتن درآمد کارگران و افزایش هزینه‌های اجتماعی می‌شود (۳، ۴). در قرن گذشته تلاش‌های زیادی به منظور ایجاد شاخص‌هایی که بتواند میزان استرس حرارتی را به طور رضایت‌بخشی توصیف کند، انجام شده است. بسیاری از شاخص‌هایی که پیشنهاد شده‌اند، در سه گروه تحلیلی، تجربی و شاخص‌های مستقیم قرار می‌گیرند (۵).

در حال حاضر بیش از ۶۰ شاخص استرس حرارتی وجود دارد که هر کدام مزایا و معایبی دارند. تلاش بر این است تا یک شاخص معتبر و کامل جهت ارزیابی استرس حرارتی ابداع شود که بتواند شرایط محیطی را از لحاظ استرس حرارتی توصیف نماید (۶). میزان تنش حرارتی انسان را می‌توان با اندازه‌گیری دمای عمقی بدن مورد ارزیابی قرار داد. دمای دهانی، دمای پرده صماخ گوش، دمای مقعدی و دمای ادرار، از جمله دماهای بدن می‌باشد که می‌توان به عنوان دمای عمقی به آن‌ها استناد کرد (۷، ۸). به طور کلی، شاخص‌های استرس حرارتی را می‌توان به دو دسته «شاخص‌های تحلیلی و شاخص‌های تجربی» تقسیم نمود. شاخص‌های تحلیلی بر اساس اصول تبادلات حرارتی عمل می‌کنند و شاخص‌های تجربی بر اساس پاسخ انسان به عوامل مختلف محیطی پایه‌ریزی می‌گردد (۹). با توجه به این که شاخص‌های محیطی مانند دمای هوا، دمای تابشی، رطوبت و سرعت جریان هوا همراه با فعالیت فرد و نوع لباس وی در ایجاد تنش و مقدار آن مؤثر می‌باشد، سعی گردیده است شرایط حاکم خلاصه و

۱- دانشجوی کارشناسی ارشد، کمیته تحقیقات دانشجویی و گروه مهندسی بهداشت حرفه‌ای، دانشکده بهداشت، دانشگاه علوم پزشکی اصفهان، اصفهان، ایران

۲- دانشیار، گروه مهندسی بهداشت حرفه‌ای، دانشکده بهداشت، دانشگاه علوم پزشکی اصفهان، اصفهان، ایران

۳- کارشناس ارشد، گروه مهندسی بهداشت حرفه‌ای، دانشکده بهداشت، دانشگاه علوم پزشکی اصفهان، اصفهان، ایران

۴- کارشناس، گروه بهداشت حرفه‌ای، مرکز بهداشت نائین، دانشگاه علوم پزشکی اصفهان، اصفهان، ایران

Email: hossein_khalili@hlth.mui.ac.ir

نویسنده مسؤول: حسین خلیلی گرجی

متعدد مربوط به ایجاد استرس و استرین گرمایی در آن گنجانده شده است) تنظیم شده است که تعدادی از سؤالات آن بر پایه مشاهده و تعدادی نیز بر پایه ادراک و قضاوت فرد می‌باشد و عدد حاصل از آن تحت عنوان شاخص HSSI نام‌گذاری شده است و سه سطح خطر شامل فاقد استرین، احتمال استرین و استرین قطعی دارد (۱۲). در هر حال، ارزیابی استرس حرارتی و تفسیر استرس بر حسب تنش‌های روانی و فیزیولوژیکی پیچیده است. بنابراین، جهت توصیف مناسب شرایط محیطی از لحاظ استرس گرمایی، باید میزان اعتبار شاخص‌های استرس حرارتی مورد استفاده را مورد سنجش قرار داد (۱). بنابراین، هدف از انجام پژوهش حاضر، بررسی شاخص‌های گرمایی محیطی، فیزیولوژیک و ادراکی (HSSI, PSI و WBGT) در یک معدن زیرزمینی بود.

روش‌ها

این مطالعه از نوع تحلیلی بود که به صورت مقطعی انجام شد. ۶۴ مرد سالم که در یک معدن زیرزمینی مشغول فعالیت بودند، در تحقیق شرکت نمودند. پس از تأیید افراد بر اساس معیارهای ورود به مطالعه، هدف پژوهش و روش کار به طور کامل برای آنان توضیح داده شد. معیارهای ورود به مطالعه شامل عدم سابقه بیماری‌های قلبی - عروقی، بیماری‌های تیروئید، فشار خون، دیابت، بیماری‌های تبار و عفونی، عدم سابقه پرکاری تیروئید، عدم مصرف داروهای آنتی‌بیوتیک و داروهای مؤثر بر ضربان قلب بود. با توجه به تعداد معدن کاران این معدن، کلیه افرادی که معیارهای ورود به مطالعه را داشتند، به عنوان نمونه انتخاب شدند. پس از طی شدن مراحل تأیید فرد، ابتدا دستگاه ضربان‌سنج قلب (مدل 100 POLAR RS، فنلاند) که در پژوهش‌های مختلف نیز از آن استفاده شده بود (۱۸، ۱۷)، بر روی سینه و مچ دست فرد بسته شد و پس از ۵ دقیقه استراحت، ضربان قلب و دمای عمقی به ترتیب با استفاده از ضربان‌سنج قلب و دماسنج دهانی (مدل TB 100، چین) ثبت گردید. پس از پایان استراحت، فرد به فعالیت کاری روزانه خود می‌پرداخت و در طی انجام فعالیت، محیط و فرد به مدت یک ساعت مورد پایش قرار گرفت. پایش محیطی با استفاده از دستگاه WBGT (شرکت Casella، آمریکا) انجام شد؛ به این صورت که عدد مربوط به شاخص WBGT به فاصله هر ۲۰ دقیقه یک بار ثبت گردید. هم‌زمان با اندازه‌گیری محیطی، در اندازه‌گیری فردی نیز هر ۳۰ دقیقه یک بار ضربان قلب و دمای عمقی فرد ثبت شد. همچنین، هم‌زمان با اندازه‌گیری‌های محیطی و فیزیولوژیک، پرسش‌نامه HSSI نیز به فاصله هر ۳۰ دقیقه یک بار تکمیل گردید. در مجموع، در طول یک ساعت پایش، دو بار اعداد مربوط به HSSI و PSI و سه بار اعداد مربوط به WBGT ثبت شد. محاسبه شاخص PSI حاصل متغیرهای ضربان قلب و دمای عمقی می‌باشد که با استفاده از رابطه ۱ به دست می‌آید که در آن T_{ret} و HR_t به ترتیب دمای عمقی و ضربان قلب در حین فعالیت و T_{ret0} و HR_0 به ترتیب دمای عمقی و ضربان قلب در حالت استراحت می‌باشد (۱۵).

رابطه ۱

$$PSI = 5 (T_{ret} - T_{ret0}) / (39/5 - T_{ret0}) + 5 (HR_t - HR_0) / (180 - HR_0)$$

پرسش‌نامه شاخص HSSI مورد استفاده که روایی و پایایی آن در مطالعه دهقان شهرضا و همکاران مورد بررسی قرار گرفت (۱۲)، از ۱۷ سؤال تشکیل

به صورت یک عدد ارایه شود که این عدد همان شاخص حرارتی است. هدف از ارایه یک شاخص، خلاصه کردن ارتباطات داخلی میان شاخص‌های محیطی، لباس و فعالیت در قالب یک عدد می‌باشد (۱۰).

شاخص‌های زیادی جهت اندازه‌گیری میزان استرس گرمایی اعمال شده بر روی فرد تدوین شده است (۱۱) که از میان آن‌ها، شاخص دمای تر گوی‌سان (Wet bulb globe temperature یا WBGT) در ارزیابی محیط‌های گرم بیشترین استفاده را دارد (۱۰). این شاخص بر پایه اندازه‌گیری سه شاخص دمای طبیعی (Natural wet temperature یا NWT)، دمای هوا (t_a) و دمای گوی‌سان (t_g) می‌باشد. شاخص WBGT، روش رایجی برای ارزیابی استرس حرارتی در محیط کار محسوب می‌شود (۱۲). با وجود استفاده گسترده از شاخص WBGT، این شاخص محدودیت‌هایی را به همراه دارد. اصلی‌ترین محدودیت آن، این است که هنگامی که در اثر افزایش رطوبت یا کاهش جریان هوا میزان تبخیر عرق محدود می‌شود، شاخص WBGT نمی‌تواند این استرین اضافه شده در اثر محدود شدن تبخیر را به درستی منعکس نماید. از طرف دیگر، تفسیر مقادیر شاخص WBGT، به تعیین شاخص‌های شدت فعالیت و نوع لباس کار نیاز دارد که برآورد این عوامل با کاربرد روش‌های رایج (مانند مشاهده یا استفاده از جدول) خطای قابل توجهی دارد (۴).

در روش غربالگری و ارزیابی تنش گرمایی جهت تعیین حاشیه ایمن، روش مورد استفاده باید دارای حساسیت بالایی باشد که شاخص WBGT فاقد این ویژگی است (۱۲). همچنین، دستگاهی که این شاخص را اندازه‌گیری می‌کند، در ایران به نسبت گران‌قیمت می‌باشد و برای استفاده در صنایع کوچک صرفه اقتصادی ندارد و زمان پاسخگویی دستگاه به گرمای تابشی محیط نیز طولانی است. در نتیجه، Budd بیان کرد که شاخص WBGT برای ارزیابی استرس حرارتی محیط نمی‌تواند شاخص مناسبی باشد (۴). پاسخ بدن به استرس گرمایی به عنوان استرین شناخته می‌شود که به وسیله شاخص‌های فیزیولوژیک و سایکولوژیک اندازه‌گیری می‌شود. بزرگی این پاسخ‌ها به میزان مواجهه بدن با استرس گرمایی بستگی دارد (۱۳). استرین‌های فیزیولوژیک مربوط به استرس گرمایی شامل دمای عمقی، دمای پوست و ضربان قلب است (۱۴). استرین‌های فیزیولوژیک یکی دیگر از روش‌های ارزیابی تنش گرمایی در محیط کار می‌باشد. یکی از شاخص‌هایی که امروزه جهت ارزیابی استرین فیزیولوژیک استفاده می‌شود، شاخص استرین فیزیولوژیک (Physiological strain index یا PSI) است. این شاخص مقدار استرین فیزیولوژیک را بر اساس ضربان قلب و دمای عمقی اندازه‌گیری می‌کند و یک مقیاس ۱۰ نمره‌ای دارد که اعداد صفر و ۱۰ به ترتیب نشانه عدم وجود استرین و بالاترین مقدار استرین می‌باشد (۱۵) و با توجه به این که اندازه‌گیری ضربان قلب و دمای عمقی در محیط کار دشوار و زمان‌بر می‌باشد، استفاده از شاخص PSI به صورت روتین نیز عملی نیست.

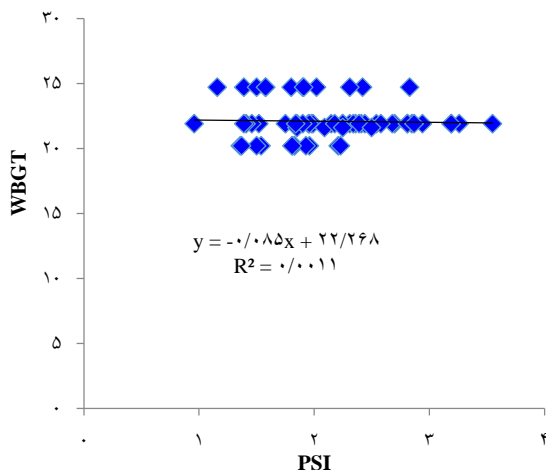
علاوه بر روش‌های مذکور (WBGT و PSI)، روش دیگری که در سال‌های اخیر استفاده شده است، تکنیک‌های مشاهده‌ای - ادراکی می‌باشد. روش‌های مشاهده‌ای - قضاوتی به دلیل کارایی خوب، صرفه‌جویی در وقت و هزینه، مطلوب بودن نزد استفاده‌کنندگان، ساده بودن، پاسخدهی سریع و قابلیت کاربرد در محیط کار بدون تداخل با نیروی کار استفاده‌گسترده‌ای یافته است. یکی از شاخص‌هایی که به تازگی بر اساس تکنیک مشاهده‌ای - ادراکی تدوین شده است، شاخص نمره استرین گرمایی (Heat strain score index یا HSSI) می‌باشد (۱۶، ۱۲). این شاخص در قالب یک پرسش‌نامه (که عوامل

جدول ۱. میانگین شاخص‌های (WBGT) Wet bulb globe temperature، (HSSI) Heat strain score index، (PSI) Physiological strain index، دمای عمقی و ضربان قلب افراد در دو حالت استراحت و فعالیت

شاخص	HSSI	PSI	WBGT	ضربان قلب		دمای عمقی	
				فعالیت	استراحت	فعالیت	استراحت
میانگین ± انحراف معیار	۱۳/۵۵ ± ۳/۸۴	۲/۱۱ ± ۰/۵۵	۲۲/۰۸ ± ۱/۴۱	۷۶/۹۳ ± ۷/۰۸	۱۰۰/۷۵ ± ۷/۵۷	۳۶/۲۵ ± ۰/۱۶	۳۶/۸۸ ± ۰/۲۶
بیشینه	۲۱/۵۹	۳/۵۵	۲۴/۷۰	۹۹	۱۲۲	۳۶/۹۰	۳۷/۵۰
کمینه	۶/۵۵	۰/۹۶	۲۰/۲۰	۶۹	۹۰	۳۶/۵۰	۳۶/۶۰

PSI: Physiological strain index; HSSI: Heat strain score index; WBGT: Wet bulb globe temperature

داشت. مقادیر میانگین شاخص‌های WBGT، PSI و دمای دهانی برای هر سه سطح خطر شاخص HSSI در جدول ۲ آمده است. نتایج آزمون همبستگی Pearson نشان داد که ارتباط معنی‌داری بین شاخص‌های WBGT و PSI وجود نداشت ($P = ۰/۷۹۱$). همچنین، بین شاخص‌های HSSI و PSI ($r = ۰/۸۵۹$ و $P < ۰/۰۰۱$)، شاخص HSSI با دمای دهانی ($r = ۰/۷۹۵$ و $P < ۰/۰۰۱$) و شاخص HSSI با ضربان قلب ($r = ۰/۴۳۸$ و $P < ۰/۰۰۱$) رابطه خطی مستقیم و معنی‌داری مشاهده شد. شکل‌های ۱-۴ پراکنش و خط رگرسیون دمای عمقی، ضربان قلب و شاخص‌های HSSI و WBGT بر حسب PSI را نشان می‌دهد.



شکل ۱. همبستگی (WBGT) Wet bulb globe temperature با (PSI) Physiological strain index

شده است که در آن متغیرهایی شامل دمای هوا، رطوبت هوا، حرکت هوا، شدت تعریق، شدت تشنگی، شدت خستگی، شدت ناراحتی، علایم بالینی، دمای سطوح، وضعیت تهویه، نوع لباس کار، رنگ لباس کار، جنس لباس کار، نوع وسایل حفاظتی، بار کاری، وضعیت بدنی، ابعاد فضای کار و محل انجام وظایف مورد بررسی قرار می‌گیرد و نمره به دست آمده تحت عنوان شاخص HSSI نام‌گذاری می‌گردد. این شاخص سه سطح خطر دارد که عبارت است از سطح ۱: اگر مقدار شاخص کمتر از ۱۳/۵ باشد، فرد فاقد استرین است. سطح ۲: اگر مقدار شاخص بین ۱۳/۶-۱۸ باشد، فرد شاید دارای استرین است که در این سطح آنالیز بیشتری جهت تعیین وجود یا عدم وجود استرین نیاز است و سطح ۳: در صورتی که مقدار شاخص بیشتر از ۱۸ باشد، فرد به طور قطع دارای استرین است. در نهایت، جهت تعیین ارتباط شاخص‌های PSI، WBGT و HSSI از آزمون همبستگی Pearson و آنالیز رگرسیون و برای مقایسه میانگین شاخص‌های WBGT، PSI و دمای عمقی بدن در سطوح مختلف خطر شاخص HSSI نیز از آزمون ANOVA یک‌طرفه استفاده شد. داده‌ها در نرم‌افزار SPSS نسخه ۲۰ (version 20, IBM Corporation, Armonk, NY) مورد تجزیه و تحلیل قرار گرفت.

یافته‌ها

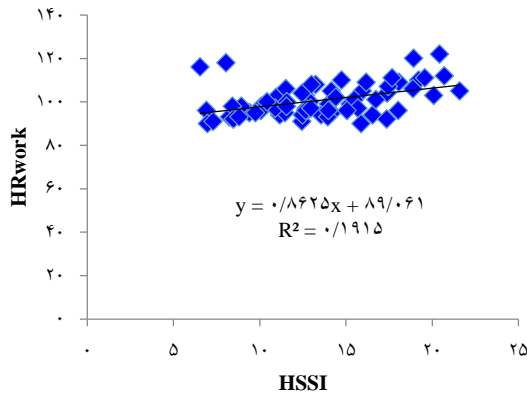
مطالعه حاضر بر روی ۶۴ کارگر مرد (با میانگین سنی $۳۰/۰۰ ± ۷/۴۲$ سال) در یکی از معادن سرب و روی اصفهان انجام شد. میانگین شاخص‌های WBGT، HSSI و PSI نشان داد که محیط این معدن زیرزمینی فاقد استرس حرارتی برای افراد بود. مقادیر میانگین شاخص‌های WBGT، HSSI و PSI به همراه دمای عمقی و ضربان قلب افراد در جدول ۱ ارایه شده است.

بر اساس نتایج آزمون ANOVA یک‌طرفه، اختلاف معنی‌داری بین میانگین شاخص PSI و دمای دهانی در سطوح خطر شاخص HSSI وجود

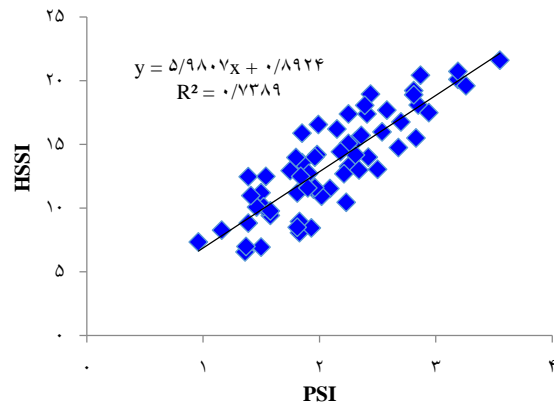
جدول ۲. میانگین شاخص‌های (PSI) Physiological strain index، (WBGT) Wet bulb globe temperature و دمای دهانی برای هر سه سطح خطر شاخص (HSSI) Heat strain score index

سطوح خطر HSSI	شاخص PSI		شاخص WBGT		دمای دهانی	
	P	میانگین ± انحراف معیار	P	میانگین ± انحراف معیار	P	میانگین ± انحراف معیار
سطح ۱ (فاقد استرین)	< ۰/۰۰۱	۱/۷۵ ± ۰/۲۵	۰/۴۱۲	۲۱/۹۹ ± ۱/۷۱	< ۰/۰۰۱	۳۶/۷۰ ± ۰/۱۶
سطح ۲ (احتمال استرین)	< ۰/۰۰۱	۲/۳۰ ± ۰/۳۲	۰/۴۱۲	۲۲/۳۲ ± ۱/۲۳	۰/۰۰۲	۳۶/۹۹ ± ۰/۱۸
سطح ۳ (استرین قطعی)	< ۰/۰۰۱	۲/۹۳ ± ۰/۵۵	۰/۸۵۶	۲۱/۹۰ ± ۰	۰/۰۰۲	۳۷/۲۱ ± ۰/۲۰

HSSI: Heat strain score index; PSI: Physiological strain index; WBGT: Wet bulb globe temperature



شکل ۴. همبستگی ضربان قلب با (HSSI) Heat strain score index



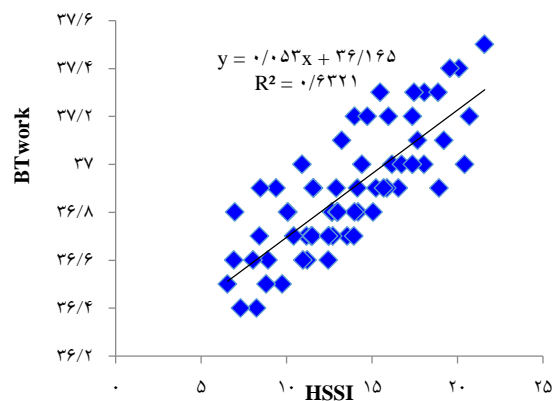
شکل ۲. همبستگی (HSSI) Heat strain score index با (PSI) Physiological strain index

همچنین، شاخص WBGT تفاوت‌های فردی را در نظر نمی‌گیرد و برای افراد با خصوصیات فردی متفاوت که در یک محیط با شرایط محیطی یکسانی مشغول فعالیت هستند، سطح مشابهی از نظر استرس گرمایی را نشان می‌دهد. شاخص HSSI که به عنوان یک ابزار غربالگری اولیه معرفی شده است، ارتباط معنی‌داری را با شاخص PSI، دمای عمقی و ضربان قلب نشان داد ($P < 0.001$). جدول ۲ که در آن مقادیر میانگین PSI و دمای دهانی در سه سطح خطر HSSI آمده است، نشان می‌دهد که روند تغییرات مقادیر PSI و دمای دهانی به صورت افزایشی می‌باشد که این افزایش نیز افزایش معنی‌داری است. به عنوان مثال، افرادی که در ارزیابی شاخص HSSI در سطح خطر ۳ قرار گرفتند، دارای بیشترین مقدار PSI و دمای دهانی می‌باشند و افرادی که در سطح خطر ۱ قرار گرفتند نیز کمترین مقدار PSI و دمای دهانی را داشتند و این امر مؤید آن است که شاخص HSSI در دسته‌بندی افراد در سطوح مختلف استرین نیز موفق بوده است که این یافته با نتایج پژوهش دهقان و همکاران (۱۹) همخوانی داشت.

همان‌گونه که خط رگرسیونی شکل ۴ نشان می‌دهد، رابطه بین شاخص‌های HSSI و PSI به صورت خطی و مستقیم می‌باشد و با توجه به این که مقدار ضریب همبستگی بین این دو شاخص بیشتر از ۰/۵ بود ($r = 0.489$)، بیانگر همبستگی بالای شاخص HSSI با شاخص PSI می‌باشد. تحقیق Baker و همکاران به بررسی ارتباط شاخص PSI با تلاش ادراکی پرداخت و به این نتیجه دست یافت که این شاخص در یک فعالیت طولانی مدت (۶۰ دقیقه)، همبستگی بالایی با تلاش ادراکی دارد (۲۰) و با نتایج مطالعه حاضر همسو بود. Hostler و همکاران در پژوهش دیگری به بررسی تأثیر هایپرهیدراسیون بر روی استرین‌های فیزیولوژیکی و ادراکی پرداختند و دریافتند که هر دو شاخص بین شرایط هیدراته و غیر هیدراته نتایج مشابهی را نشان می‌دهد و بیانگر آن است که بین شاخص استرین ادراکی و فیزیولوژیکی همبستگی وجود دارد. همچنین، بین شاخص استرین ادراکی و دمای عمقی همبستگی بالایی مشاهده شد (۲۱) که در مطالعه حاضر نیز بین دمای عمقی و شاخص HSSI همبستگی بالایی ۰/۵ به دست آمد. همچنین، Gagge و همکاران به برآورد حسی راحتی و احساس گرمایی و ارتباط آن با پاسخ فیزیولوژیکی پرداختند. در تحقیق آنان افراد در محیط‌های گرم و سرد مشغول یک فعالیت غیر منفعل بودند. نتایج نشان داد که در مواجهه مداوم با محیط‌های سرد و گرم، راحتی گرمایی و احساس دمایی خنثی در محدوده‌های دمایی قرار

بحث

در محیط مطالعه با توجه به ایجاد جریان هوا به صورت مصنوعی به منظور تنفس راحت‌تر کارکنان، افزایش ایمنی افراد و عمق معدن (۲۴۰ متری)، میانگین شاخص‌های WBGT، PSI و HSSI حاکی از عدم وجود استرس حرارتی در این محیط برای کارکنان بود. در صورت نبود جریان هوا به صورت مصنوعی، امکان تغییر نتایج به دست آمده وجود داشت. نتایج پژوهش Malchaire و همکاران نشان داد هنگامی که رطوبت هوا کاهش یابد و یا جریان هوا محدود گردد، میزان تبخیر عرق محدود می‌شود که در این شرایط محیطی، شاخص WBGT نمی‌تواند میزان استرین افزوده شده بر فرد به دلیل کاهش تبخیر عرق را برآورد نماید و به همین دلیل این شاخص روش غربالگری مطلوبی برای چنین محیط‌هایی نمی‌باشد (۱۶).



شکل ۳. همبستگی دمای عمقی با (HSSI) Heat strain score index

در تحقیق حاضر، ارتباط معنی‌داری بین شاخص‌های WBGT و PSI مشاهده نشد ($P = 0.791$) این نتیجه با یافته‌های مطالعات Malchaire و همکاران (۱۶) و دهقان و همکاران (۱۹) مطابقت نداشت. از دلایل عدم همخوانی می‌توان به متفاوت بودن محیط پژوهش اشاره کرد.

به واسطه پوشش و فعالیت زیاد افراد، ناراحتی ناشی از گرما افزایش می‌یابد که شاخص‌های محیطی قادر به ثبت آن نیست. در مطالعه حاضر، شاخص HSSI همبستگی بالایی با شاخص PSI نشان داد که می‌توان با توجه به مشکلات استفاده از شاخص PSI، از شاخص HSSI جهت غربالگری اولیه در محیط‌های بسته نیز استفاده کرد.

تشکر و قدردانی

مطالعه حاضر برگرفته از طرح تحقیقاتی مصوب به شماره ۲۹۲۱۲۰، مصوب معاونت پژوهش و فن‌آوری دانشگاه علوم پزشکی اصفهان می‌باشد. بدین وسیله نویسندگان از تمامی کارگرانی که فعالانه در انجام این طرح مشارکت نمودند، تشکر و قدردانی به عمل می‌آورند.

دارد که از نظر فیزیولوژیک نیز خنثی می‌باشد. همچنین، ناراحتی با کاهش دمای پوست در محیط سرد و افزایش شدت تعریق در محیط گرم همبستگی خوبی را نشان داد (۲۲). در مطالعه مشابهی، Wong و Li به بررسی ارتباط بین پاسخ‌های فیزیولوژیک و ادراکی ناشی از گرما پرداختند و به این نتیجه رسیدند که هر دو پاسخ به طور معنی‌داری تحت تأثیر گرما قرار دارد و همبستگی بالایی بین رطوبت اندازه‌گیری شده پوست و احساس فرد از رطوبت مشاهده شد و مقایسه الگوی ادراکی و فیزیولوژیکی نشان داد که الگوی ادراکی تصویر واضح‌تری از گرمای ذهنی و درک رطوبت ارائه می‌دهد (۲۳).

نتیجه‌گیری

در معادن زیرزمینی بر اساس شاخص‌های محیطی، تنش حرارتی وجود ندارد، اما

References

1. Moran DS, Epstein Y. Evaluation of the environmental stress index (ESI) for hot/dry and hot/wet climates. *Ind Health* 2006; 44(3): 399-403.
2. Bernard TE, Cross RR. Heat stress management: Case study in an aluminum smelter. *Int J Ind Ergon* 1999; 23(5): 609-20.
3. Dehghan H, Mortzavi SB, Jafari MJ, Maracy MR. Development and Validation of a Questionnaire for Preliminary Assessment of Heat Stress at Workplace. *J Res Health Sci* 2015; 15(3): 175-181.
4. Budd GM. Wet-bulb globe temperature (WBGT)-its history and its limitations. *J Sci Med Sport* 2008; 11(1): 20-32.
5. Epstein Y, Moran DS. Thermal comfort and the heat stress indices. *Ind Health* 2006; 44(3): 388-98.
6. Brake R, Bates G. A valid method for comparing rational and empirical heat stress indices. *Ann Occup Hyg* 2002; 46(2): 165-74.
7. Jay O, Kenny GP. Heat exposure in the Canadian workplace. *Am J Ind Med* 2010; 53(8): 842-53.
8. Gagge AP, Nishi Y. Heat exchange between human skin surface and thermal environment. In: Gagge AP, Nishi Y, Editors. *Comprehensive Physiology*. Bethesda, MD: American Physiological Society; 2011.
9. Gagge AP, Fobelets AP, Berglund LG. A standard predictive index of human response to the thermal environment. *ASHRAE Trans* 1986; 92: 2B.
10. Golbabaei F, Omidvari M. Human and thermal stress at work. Tehran, Iran: Tehran University Press; 2002. [In Persian].
11. Parsons K. Heat stress standard ISO 7243 and its global application. *Ind Health* 2006; 44(3): 368-79.
12. Dehghan Shahreza H, Mortazavi S, Jafari M, Meraci M, Khavanin A, Jahangiri M. Structural equation modeling application to determine validity of the structure of a thermal strain screening method. *J Health Syst Res* 2010; 6(4): 601-12. [In Persian].
13. Misaqi FL. Heat Stress in Hot U.S. Mines and criteria for standards for mining in hot environments. Washington, DC: U.S. Department of the Interior, Mining Enforcement and Safety Administration; 1976.
14. Luecke CL. Gender differences during heat strain at critical WBGT. Tampa, FL: University of South Florida; 2006.
15. Moran DS, Shitzer A, Pandolf KB. A physiological strain index to evaluate heat stress. *Am J Physiol* 1998; 275(1 Pt 2): R129-R134.
16. Malchaire J, Gebhardt HJ, Piette A. Strategy for evaluation and prevention of risk due to work in thermal environments. *Ann Occup Hyg* 1999; 43(5): 367-76.
17. Li Y, Tokura H, Guo YP, Wong AS, Wong T, Chung J, et al. Effects of wearing N95 and surgical facemasks on heart rate, thermal stress and subjective sensations. *Int Arch Occup Environ Health* 2005; 78(6): 501-9.
18. Laird IS, Goldsmith R, Pack RJ, Vitalis A. The effect on heart rate and facial skin temperature of wearing respiratory protection at work. *Ann Occup Hyg* 2002; 46(2): 143-8.
19. Dehghan H, Habibi E, Khodarahmi B, Hosseinali Yousefi HA, Hasanzadeh A. The relationship between observational - perceptual heat strain evaluation method and environmental / physiological indices in warm workplace. *Pak J Med Sci* 2013; 29(1 Suppl): 358-62.
20. Baker SJ, Grice J, Roby L, Matthews C. Cardiorespiratory and thermoregulatory response of working in fire-fighter protective clothing in a temperate environment. *Ergonomics* 2000; 43(9): 1350-8.
21. Hostler D, Gallagher M Jr, Goss FL, Seitz JR, Reis SE, Robertson RJ, et al. The effect of hyperhydration on physiological and perceived strain during treadmill exercise in personal protective equipment. *Eur J Appl Physiol* 2009; 105(4): 607-13.
22. Gagge AP, Stolwijk JAJ, Hardy JD. Comfort and thermal sensations and associated physiological responses at various ambient temperatures. *Environ Res* 1967; 1(1): 1-20.
23. Wong ASW, Li Y. Relationship between thermophysiological responses and psychological thermal perception during exercise wearing aerobic wear. *J Therm Biol* 2004; 29(7): 791-6.

Evaluation of Environmental, Physiological, and Perceptual Heat Indices among Underground Mine Workers

Meysam Mobasheri-Demneh¹, Habibollah Dehghan², Azim Karimi¹, Hossein Khalili-Gorji¹,
Mohammad Zeinoddini³, Ali Reza Pourbaferani⁴, Zahra Sharifian-Shahkouchaki¹

Original Article

Abstract

Background: Heat exposure is known as a harmful agent in work places. This agent causes physiologic changes in workers. The aim of this study was to assess environmental, physiological, and perceptual heat indices among underground mine workers.

Methods: This cross-sectional study was performed on 64 healthy men in summer. Physiological Strain Index (PSI) and Wet Bulb Glob Temperature (WBGT) were measured. Heat Strain Score Index (HSSI) questionnaire was completed by workers. The data were analyzed using SPSS software.

Findings: The means of PSI, WBGT, and HSSI indices showed that there was a little heat strain among the workers. One-way ANOVA test showed that the mean of PSI had significant difference in the HSSI levels. Pearson test showed that there was no significant correlation between WBGT and PSI ($P = 0.791$); but correlation was meaningful between HSSI and PSI ($P < 0.001$, $r = 0.859$).

Conclusion: The results showed that HSSI can be used as a screening tool for heat strain assessment among underground mines workers.

Keywords: Heat stress disorders, Physiological stress, Hot temperature

Citation: Mobasheri-Demneh M, Dehghan H, Karimi A, Khalili-Gorji H, Zeinoddini M, Pourbaferani AR, et al. **Evaluation of Environmental, Physiological, and Perceptual Heat Indices among Underground Mine Workers.** J Health Syst Res 2018; 13(4): 393-8.

1- MSc Student, Student Research Committee AND Department of Occupational Health Engineering, School of Public Health, Isfahan University of Medical Sciences, Isfahan, Iran

2- Associate Professor, Department of Occupational Health Engineering, School of Public Health, Isfahan University of Medical Sciences, Isfahan, Iran

3- Department of Occupational Health Engineering, School of Public Health, Isfahan University of Medical Sciences, Isfahan, Iran

4- Department of Occupational Health, Nain Health Center, Isfahan University of Medical Sciences, Isfahan, Iran

Corresponding Author: Hossein Khalili Gorji, Email: hossein_khalili@hlth.mui.ac.ir